

Частные случаи. 1. Принимая в (13) и (14) $\tau = \frac{1}{2}$, получим асимптотическое разложение закона рассеяния, которое при $\beta > 0$ совпадает с формулой Нелкина—Паркса [2] (для простоты здесь и в дальнейшем приводится только первый член разложения):

$$S(\alpha, |\beta|) = \frac{e^{-|\beta|/2}}{\sqrt{2\pi\alpha/2}(\tau_0)} \left\{ \exp \left[-\frac{(|\beta| - \alpha)^2}{2\alpha/2(1/2)} \right] + \frac{\xi_1(\alpha, \beta)}{\alpha^{1/2}} \right\},$$

$(\xi_1 \ll b_1).$ (15)

Таким образом, (15) в отличие от формулы Нелкина—Паркса удовлетворяет принципу детального равновесия. Кроме того, правильная оценка остаточного члена (14) отличается от оценки, приведенной в работе [2].

2. При $\tau = 0$ из (13) и (14) следует формула [1]:

$$S(\alpha, \beta) = \frac{e^{-\alpha \left[\Delta \left(-\frac{i}{2} \right) - \Delta(0) \right]}}{\sqrt{2\pi\alpha/2}(0)} \left(e^{-\beta^2/2} + \frac{\xi_1}{\alpha^{1/2}} \right),$$

$|\xi_1| \ll b_1.$ (16)

3. Задавая произвольное значение τ и принимая в (13) $\varepsilon = 0$, из (14) получим формулу Эгелстаффа—Скофилда [3], выведенную с помощью метода «перевала» формально без оценки остаточного члена. Так как $H_{2n+1}(x) = 0$, то при $\varepsilon = x = 0$ в формуле (14) исчезают члены с дробными степенями α .

Как следует из вышесказанного, все три частных асимптотических разложения справедливы в области, заданной неравенством (13) при соответствующем выборе ε (в том смысле, что в этой области они дают нетривиальную информацию о законе рассеяния).

В заключение автору приятно выразить благодарность В. Ф. Турчину за ряд критических замечаний и обсуждение результатов, а также О. Б. Москалеву за внимание к работе.

ПРИЛОЖЕНИЕ

Функция $\psi_\tau(\alpha, x)$ — положительная. Ее моменты можно вычислить следующим образом:

$$\begin{aligned} \gamma_n &= \int_{-\infty}^{\infty} x^n \psi_\tau(\alpha, x) dx = \\ i^n &= \int_{-\infty}^{\infty} e^{\alpha \varphi \left(\frac{t}{\sqrt{\alpha/2}(\tau)}, \tau \right)} \delta^{(n)}(t) dt = \\ &= (-i)^n \left[\exp \left\{ \alpha \varphi \left(\frac{t}{\sqrt{\alpha/2}}, \tau \right) \right\} \right]_{t=0}^{(n)}. \end{aligned} \quad (\text{П.1})$$

Так как в соответствии с (П.1) все моменты γ_n функции $\psi_\tau(\alpha, x)$ существуют, то, в частности, $\gamma_0 = 1$;

$\gamma_1 = 0$; $\gamma_2 = 1$. Поэтому $\int_{-\infty}^{\infty} \psi_\tau dx$ удовлетворяет тре-

бованиям, которым должна удовлетворять функция распределения вероятностей, чтобы была справедлива центральная предельная теорема теории вероятностей в формулировке Крамера (см. [5], стр. 121, теорема 30), из которой следует асимптотическое разложение (7) с оценкой остаточного члена (8), верной в том случае, когда характеристическая функция e^φ такова, что

$$\overline{\lim}_{|t| \rightarrow \infty} e^\varphi < 1. \quad (\text{П.2})$$

Из (6) следует, что неравенство (П.2) может нарушаться только в том случае, когда $f(\varepsilon)$ представляется суммой δ -функций вида $\delta(\varepsilon - \varepsilon_j)$, т. е. для эйнштейновского кристалла (точнее, для рассеивателя с неразмазанными по энергии оптическими колебаниями).

Поступило в Редакцию 15/VI 1964 г.

ЛИТЕРАТУРА

1. P. Egelstaff. Proc. Simp. Vienna, 1960, p. 25.
2. M. Nelkin, D. Parks. Phys. Rev., 119, 1060 (1960).
3. P. Egelstaff, P. Schofield. Nucl. Sci. Engng, 12, 260 (1962).
4. Х. П у р о х и т. В сб. «Термализация нейтронов». М., Атомиздат, 1964.
5. Г. Крамер. Случайные величины и распределение вероятностей. М., Изд-во иностр. лит., 1947.
6. Г. Крамер. Математические методы статистики. М., Изд-во иностр. лит., 1948.

УДК 621.039.519.4

Физические характеристики критической сборки с замедлителем из окиси бериллия

С. С. Ломакин

В работе [1] были описаны эксперименты и расчеты, касающиеся критическихборок с бериллиевым замедлителем. В настоящей работе сообщается об исследованиях, предпринятых для определения нейтронно-физических характеристик критической сборки с замедлителем из окиси бериллия.

Исследованная критическая сборка в форме параллелепипеда была собрана из блоков и пластин окиси

бериллия и плоских твэлов, расположенных между блоками замедлителя в горизонтальных плоскостях так, что образовывалась плоская решетка. Размеры блоков замедлителя $100 \times 100 \times 50$ мм, пластин $100 \times 50 \times 15$ мм (плотность $2,8 \text{ г/см}^3$). Твэлы были изготовлены на основе фторопласта-4 [2]. Сборка в основном состояла из блоков замедлителя, которые укладывались слоями. Приближение к критическому

состоянию проводилось с помощью пластин замедлителя путем увеличения длины сборки. Под каждым блоком замедлителя располагалось по три пластинчатых твэла.

Ниже приведены характеристики сборки, для которой отношение концентраций атомов бериллия и U^{235} составляло 3272:

Шаг решетки	50 мм
Число твэлов под блоком замедлителя	3
Количество U^{235}	3409 г
Геометрический параметр κ^2	$0,438 \pm 0,005$ $\text{см}^{-2} \times 10^2$
Расчетное значение $K_{эфф}$: с экспериментальными значениями τ и μ	0,999
многогрупповой расчет	0,967

Сборка имела верхний и нижний торцовые отражатели толщиной 25 мм.

Влияние нейтронов, отраженных от стен и конструкций стенда, на критический размер сборки определялось экспериментально. Для этого сборку окружали слоем кадмия, а наружные конструктивные элементы стенда удаляли. Полученные поправки учтены в приведенном значении κ^2 .

Надкритичность сборки была измерена при небольшом изменении ее длины для различных геометрических размеров исследуемой сборки. Полученные данные, обработанные по методу наименьших квадратов, представлены на рис. 1, где $H = -2,37 + 14,729 \times (\Delta H / k_{эфф} \Delta Q)^{1/3}$ — длина активной зоны, см. Приведен-

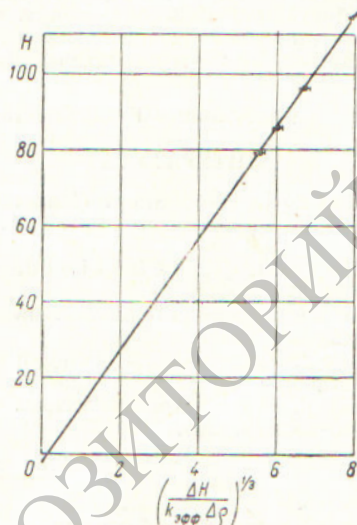


Рис. 1. Зависимость длины активной зоны сборки с замедлителем из окиси бериллия с тремя твэлами в слое от $(\Delta H / k_{эфф} \Delta Q)^{1/3}$.

ная зависимость, записываемая согласно работе [1] в виде

$H = [2\pi^2 (\tau + L^2/4 + \kappa^2 L^2)]^{1/3} (\Delta H / k_{эфф} \Delta Q)^{1/3}$, использовалась для определения величины τ , которая оказалась равной $112 \pm 2,5 \text{ см}^2$.

Из критического условия $k_{эфф} = \frac{k_{\infty} e^{-\kappa^2 \tau}}{1 + \kappa^2 L^2}$, где $k_{\infty} = \eta \rho r$, было найдено, что $k_{\infty} = 2,07 \pm 0,06$.

Для определения геометрического параметра гомогенной системы была сооружена сборка, в которой число твэлов в слое и шаг ячейки удваивались. При этом концентрация горючего оставалась неизменной. Геометрический параметр гомогенной системы был определен экстраполяцией полученных геометрических параметров к нулевому количеству твэлов (рис. 2).

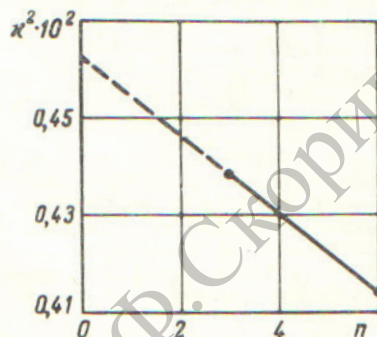


Рис. 2. Зависимость геометрического параметра κ^2 от n твэлов в слое при постоянной концентрации горючего.

Были проведены также расчеты критической сборки с использованием полученных параметров по многогрупповой методике [3]. Величина самоэкранировки горючего рассчитывалась в P_3 -приближении, методом Монте-Карло и по методике, изложенной в работе [4]. Кроме того, коэффициент внутренней самоэкранировки был получен по измерениям распределения тепловых нейтронов в слое твэлов (рис. 3). Ниже представлены

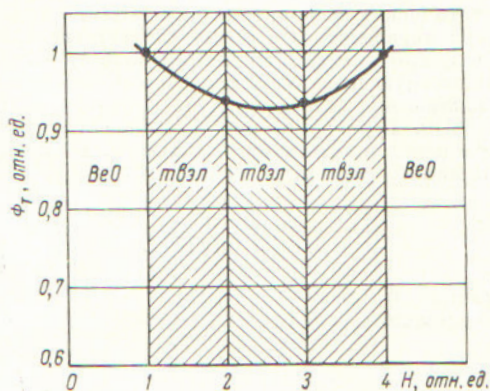


Рис. 3. Распределение плотности тепловых нейтронов в слое из трех твэлов в вертикальном направлении.

данные о величинах коэффициентов самоэкранировки горючего для слоя из трех твэлов:

Расчет по методике, приведенной в работе [4]	Расчет методом Монте-Карло	Расчет в P_3 -приближении	Измеренный коэффициент внутренней самоэкранировки	Принятое значение для расчета $k_{эфф}$
0,885	0,890	0,916	0,94	0,885

С принятым коэффициентом самоэкранировки сборка рассчитывалась как гомогенная. Результаты расчета приведены выше. Был рассчитан также вклад в коэффициент размножения реакций $Be(n, 2n)$ и $Be(n, \alpha)$ методом, изложенным в работе [1], с учетом рассеяния нейтронов на кислороде; величина эффекта оказалась равной 1,06.

Интересно сравнить полученные данные с данными других авторов. Для этого измеренная величина τ была пересчитана к плотности окиси бериллия $2,79 \text{ г/см}^3$ (учитывался вклад в замедление фторопласта-4, для которого расчетное $\tau = 410,8 \text{ см}^2$). Оказалось, что τ до энергии $0,2 \text{ эв}$ составляет $105,6 \text{ см}^2$. Согласно работе [5], величина τ до энергии $0,3 \text{ эв}$ равна $104,5 \pm 2 \text{ см}^2$. По измеренному значению k_∞ путем расчета сомножителей η, θ, p была определена величина μ — эффект реакции $Be(n, 2n)$. Она оказалась равной 1,07. В работе [6] для системы из окиси бериллия и слабообогатенного урана найдено, что $\mu = 1,054$. Необходимо отметить, что в такой системе неупругое рассеяние нейтронов деления в блоках урана снижает на 10–20% эффект реакции $Be(n, 2n)$. В работе [7] приводится величина μ , равная $1,08 \pm 0,02$, полученная для окиси бериллия пересчетом данных эксперимента со сферой из бериллия.

В заключение автор приносит большую благодарность Н. Н. Пономареву-Степному за руководство

работой, В. А. Ходакову, сообщившему результаты расчетов самоэкранировки методом Монте-Карло, и В. Г. Косовскому за помощь в проведении критического эксперимента.

Поступило в Редакцию 28/VII 1964 г.

В окончательной редакции 12/XII 1964 г.

ЛИТЕРАТУРА

1. Н. Н. Пономарев-Степной, С. С. Ломакин. «Атомная энергия», 16, 228 (1964).
2. Н. Н. Пономарев-Степной, С. С. Ломакин, Ю. Г. Дегальцев. «Атомная энергия», 15, 259 (1963).
3. Г. И. Марчук «Методы расчета ядерных реакторов». М., Госатомиздат, 1961.
4. E. Cohen. Nucl. Sci. and Engng, 4, 225 (1958).
5. И. Ф. Жежерун. «Атомная энергия», 13, 258 (1962).
6. P. Venoistet al. Доклад № 1192, представленный Францией на Вторую международную конференцию по мирному использованию атомной энергии (Женева, 1958).
7. И. Ф. Жежерун. «Атомная энергия», 15, 505 (1963).

УДК 539.122:539.121.72

К вопросу о прохождении γ -квантов через защитные барьеры

С. М. Ермаков, Э. Е. Петров

В настоящей работе описан эффект, связанный с прохождением γ -квантов через плоский защитный барьер, состоящий из двух компонентов: первичного слоя воды и вторичного слоя свинца.

Эффект заключается в следующем: при падении под большими углами с нормально жестких γ -квантов увеличение толщины слоя воды может привести к увеличению интенсивности излучения, прошедшего через защитный барьер.

Рассмотрим физическую картину явления. Если на плоский слой свинца падает наклонно поток γ -квантов, то этот поток можно значительно ослабить даже слоем небольшой толщины, причем при увеличении угла падения ослабляющие свойства слоя усиливаются. Это особенно ярко проявляется при высоких энергиях падающего излучения, так как с увеличением энергии возрастают анизотропия рассеяния и сечение захвата, т. е. γ -кванты проходят больший путь в слое и захватываются с большей вероятностью. Поместим теперь перед слоем свинца слой воды. В этом случае, с одной стороны, γ -кванты с большей вероятностью будут отражаться от такого двухслойного защитного барьера, что приведет к дальнейшему ослаблению прошедшего излучения; с другой стороны, они будут падать на свинец менее наклонно, что может привести к меньшему ослаблению прошедшего излучения. Кроме того, γ -кванты, рассеянные в воде и пришедшие к поверхности свинца, имеют меньшую энергию, чем первоначальные γ -кванты. При этом если они рассеиваются

на большой угол и имеют энергию меньше 3 Мэв (энергия, при которой линейный коэффициент ослабления в свинце имеет минимальное значение), то это приводит к большему ослаблению излучения. Если же γ -кванты рассеиваются на небольшой угол и имеют энергию больше 3 Мэв , то это может привести к относительному уменьшению ослабления излучения за защитным барьером, так как сечение поглощения при этих энергиях падает с уменьшением энергии. Таким образом, в некоторых случаях при добавлении водяного слоя увеличивается интенсивность излучения за барьером при наклонном падении.

Указанный эффект был обнаружен при анализе результатов расчетов методом Монте-Карло прохождения γ -излучения через многослойные защитные барьеры.

При статистическом моделировании учитывались следующие виды взаимодействия фотона с веществом: комптоновское рассеяние и поглощение, обусловленное фотоэффектом и образованием пар. Статистическое моделирование такого рода было описано в литературе*, поэтому отметим только, что расчет производился с введением статистических весов. При расчете каждого варианта было прослежено 4000 «историй» частицы; ста-

* См., например, работу T. Ishii, T. Secine, K. Ono. A Monte Carlo Calculation of Gamma Ray Scattering on the Teidac Computer. Codes for Reactor Computations. V.I., Vienna, IAEA, 1961, p. 53.